

# Возбуждение когерентных поляритонов в двумерной решетке атомов

И.О.Баринов, А.П.Алоджанц, С.М.Аракелян

*Предложен новый тип пространственно-периодической структуры (решеточные модели) – поляритонный кристалл, образованный двумерной решеткой удерживаемых двухуровневых атомов, взаимодействующих с электромагнитным полем в резонаторе (или в цепочке туннельно-связанных микрорезонаторов), и позволяющий полностью локализовать поляритоны в среде. На примере одномерного поляритонного кристалла выявлены условия получения квантового вырождения газа поляритонов нижней дисперсионной ветви, а также записи и хранения квантовой оптической информации для распространяющегося светового излучения.*

**Ключевые слова:** когерентные поляритоны, двумерная решетка атомов, квантовая оптическая информация.

## 1. Введение

Настоящая работа является развитием направления, которым в последние годы своей жизни особенно активно занимался С.А.Ахманов. Речь идет о заложенных им общих принципах оптической записи и обработки информации на нелинейных образах в пространственно-периодических или неоднородных динамических структурах, возбуждаемых лазерным излучением в нелинейных средах различной природы (см., напр., [1]).

В последнее время большой прогресс был достигнут в области управления макроскопически большим числом ультрахолодных атомов с помощью лазерного излучения [2]. Получение цепочки макроскопических атомных бозе-эйнштейновских конденсатов (БЭК) с помощью охлаждения и удержания атомов в одно- и двумерных оптических решетках позволяет исследовать различные аспекты физики фазовых переходов. Недавно сильное атомно-оптическое взаимодействие было достигнуто для БЭК атомов, помещенных в резонатор [3]. Фактически получение пространственно-периодических структур атомов, заключенных в оптические резонаторы, открывает новые перспективы при исследовании критических явлений в связанных атомно-оптических системах [4]. Современный уровень развития нанотехнологий и нанофотоники делает возможным создание таких структур на основе цепочек связанных микрорезонаторов – так называемых связанных волноводных оптических резонаторов, в которых находятся двух- или трехуровневые атомы [5–7]. Ключевую роль в поведении подобных систем играют светлые и темные поляритоны, представляющие собой бозонные квазичастицы, образуемые линейной суперпозицией фотона и макроскопического (когерентного) возмущения двухуровневой атомной системы.

В работе [8] нами была рассмотрена проблема получения конденсации Бозе–Эйнштейна, а также фазового перехода Костерлица–Таулеса для поляритонов, образованных при взаимодействии квантованного светового поля с ансамблем двухуровневых атомов в резонаторе. Необходимо отметить, что рассматриваемый фазовый переход может происходить при достаточно высоких (комнатных) температурах из-за малой эффективной массы поляритонов [9]. В работе [10] продемонстрировано макроскопическое заполнение основного состояния с импульсом  $k_{\parallel}$  двумерного газа экситон-поляритонов в полупроводниковых наноструктурах (Cd–Te) при температуре 5 К. Сверхтекучие свойства и джозефсоновская динамика таких поляритонов исследованы в [11] и экспериментально наблюдались в [12]. В работе [13] нами было также показано, что при определенных условиях становится возможной реализация оптического клонирования и оптической памяти на основе рассматриваемых резонаторных поляритонов.

В настоящей работе обсуждается модель поляритонного кристалла (ПК), который может быть создан на основе имеющихся технологий и способов управления атомами с помощью лазерного излучения. Замечательной особенностью этих структур является возможность локализации поляритонов, аналогичная возможности локализации света в фотонных кристаллах в нелинейной оптике. В этом случае происходит значительное уменьшение групповой скорости оптического волнового пакета, распространяющегося в такой среде. Вместе с тем ПК может также использоваться для наблюдения БЭК поляритонов нижней дисперсионной ветви.

## 2. Модели ПК: основные уравнения

Рассмотрим две модели ПК. В модели 1 ансамбль ультрахолодных двухуровневых атомов удерживается глубокой оптической решеткой (рис. 1,а). Для этого имеется ряд экспериментальных возможностей, одна из которых связана с использованием двухкомпонентного (спинорного) конденсата атомов с уровнями |a> и |b> [14, 15].

И.О.Баринов, А.П.Алоджанц, С.М.Аракелян. Владимирский государственный университет, Россия, 600000 Владимир, ул. Горького, 87; e-mail: alodjants@vpti.vladimir.ru, arak@vlsu.ru

Поступила в редакцию 11 декабря 2008 г., после доработки – 3 марта 2009 г.

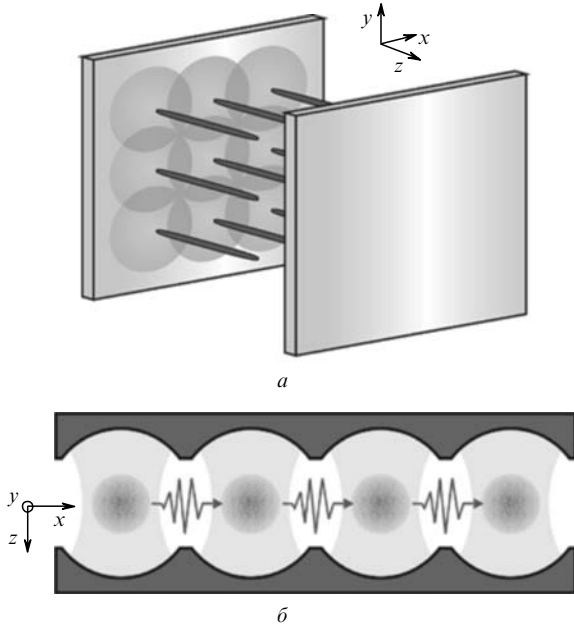


Рис.1. Схематическое изображение двух моделей ПК: удерживаемые ловушкой ансамбли ультрахолодных атомов, помещенные в резонатор и взаимодействующие с квантованным световым полем, распределение которого показано серыми кругами (а), и ПК, образованный решеткой микрорезонаторов с макроскопическими ансамблями двухуровневых атомов (б).

В данном случае двумерная периодическая структура атомных конденсатов эллиптической (игольчатой) формы может быть создана на основе интерференции двух стоячих волн (они не показаны на рис.1,а) вдоль осей  $x$  и  $y$  соответственно. При этом ансамбли атомов взаимодействуют вдоль оси  $z$  со световым полем в резонаторе в условиях сильной связи (см. ниже формулу (2)).

Модель 2 представляет собой решетку из  $M$  туннельно-связанных микрорезонаторов в плоскости  $xu$  (рис.1,б). При этом каждый резонатор содержит двухуровневые атомы, взаимодействующие с электромагнитным полем вдоль оси  $z$ . Принципиальным отличием ПК от рассматриваемых в настоящее время структур связанных волноводных оптических резонаторов (см., напр., [6]) является возможность туннелирования фотонов в перпендикулярной к главной оси резонаторов плоскости  $xu$ .

Можно показать, что в приближении так называемой сильной связи между соседними ячейками (резонаторами в модели 2), в которых находятся атомы, обе модели, представленные на рис.1, дают одни и те же физические результаты. В данном приближении атомная система может быть описана системой бозонов (бозонных мод), эволюционирующих лишь во времени. При этом пространственные степени свободы являются «замороженными». Такое приближение оказывается справедливым, когда число атомов  $N$  в отдельных ячейках относительно невелико ( $N \leq 10^4$ ) [14]. При этом высота потенциального барьера, создаваемого между отдельными ячейками оптической решетки, в которых находятся атомные ансамбли, намного больше химического потенциала каждого из них [16]. В противном случае необходимым также является учет пространственного распределения атомной системы, что приводит к формированию пространственно-локализованных атомных структур [17].

В настоящей работе мы не выходим за рамки приближения сильной связи, полностью пренебрегая взаи-

модействием атомов между собой и полагая ансамбли атомов в ячейках идеальным газом. Именно в этом случае, как будет видно из дальнейшего анализа задачи, в полной мере справедлива поляритонная модель атомно-оптического взаимодействия.

Для определенности рассмотрим модель 1 поляритонного кристалла. Полагаем выполненным условие сильной связи атомно-оптического взаимодействия, при котором параметр этой связи  $\kappa$  в каждой ячейке решетки существенно больше обратного времени когерентности  $\tau_{\text{coh}}$  атомно-оптической системы:

$$\kappa \gg 1/\tau_{\text{coh}}. \tag{1}$$

Полный гамильтониан системы имеет вид

$$H = H_{\text{at}} + H_{\text{int}} + H_{\text{ph}}, \tag{2}$$

где

$$H_{\text{at}} = \sum_{j=a,b} \int \Phi_j^+ \left( -\frac{\hbar^2 \Delta}{2M_{\text{at}}} + V_{\text{ext}}^{(j)} \right) \Phi_j d^3r,$$

$$H_{\text{int}} = \hbar\kappa \int (\Psi^+ \Phi_a^+ \Phi_b + \Phi_b^+ \Phi_a \Psi) d^3r, \tag{3}$$

$$H_{\text{ph}} = \int \Psi^+ \left( -\frac{\hbar^2 \Delta_{\perp}}{2M_{\text{ph}}} + V_{\text{ph}} \right) \Psi d^2r.$$

Здесь гамильтониан  $H_{\text{at}}$  описывает ансамбль невзаимодействующих двухуровневых атомов (идеальный газ) в ловушке,  $H_{\text{int}}$  – атомно-оптическое взаимодействие в резонаторе в приближении вращающейся волны, а  $H_{\text{ph}}$  – световое поле в резонаторе в параксиальном приближении;  $\Phi_j$  ( $\Phi_j^+$ ) – бозе-операторы уничтожения (рождения) атомов на уровнях  $j = a, b$ ;  $M_{\text{at}}$  – масса свободных атомов;  $\Delta$  – оператор Лапласа;  $V_{\text{ext}}^{(j)}$  – общий потенциал удержания атомов, который состоит из гармонического потенциала магнитооптической ловушки и потенциала оптической решетки вдоль осей  $x$  и  $y$  [18];  $\Psi$  ( $\Psi^+$ ) – оператор уничтожения (рождения) для поля, распространяющегося вдоль оси  $z$  резонатора;  $M_{\text{ph}} = \hbar k_z / c$  – эффективная масса фотона в резонаторе;  $k_z$  – проекция волнового вектора светового поля на ось  $z$ ;  $V_{\text{ph}}$  – потенциал удержания фотонов в области атомно-оптического взаимодействия, который может быть создан с помощью специальных градиентных линз или волновода с неоднородным показателем преломления [8];  $\Delta_{\perp} = \partial^2 / \partial x^2 + \partial^2 / \partial y^2$ .

Рассматривая последовательность из  $M$  ячеек в оптической решетке, представим операторы  $\Phi_j$  и  $\Psi$  в виде

$$\Phi_a = \sum_{m=1}^M a_m(t) \varphi_m^a(\mathbf{r}), \quad \Phi_b = \sum_{m=1}^M b_m(t) \varphi_m^b(\mathbf{r}), \tag{4}$$

$$\Psi(\mathbf{r}, t) = \sum_{m=1}^M \psi_m(t) \xi_m(\mathbf{r}),$$

где  $\varphi_m^{a,b}(\mathbf{r})$  и  $\xi_m(\mathbf{r})$  – вещественные функции Ванье, описывающие пространственное распределение атомов и поля в  $m$ -й ячейке ( $m = 1, \dots, M$ ) соответственно. В приближении сильной связи между соседними ячейками функции  $\varphi_m^{a,b}$  удовлетворяют соотношениям [16, 17]

$$\int |\varphi_m^{a,b}|^2 d^3r = 1, \quad (5)$$

$$\int \varphi_m^{a,b} \varphi_{m+1}^{a,b} d^3r \simeq 1.$$

Аналогичные соотношения верны и для функций  $\xi_m(\mathbf{r})$ . Операторы  $a_m(t)$ ,  $b_m(t)$  характеризуют динамические свойства двух компонент (двух мод) ансамбля атомов на нижнем и верхнем уровнях соответственно, оператор  $\psi_m(t)$  описывает временную эволюцию поля резонатора в  $m$ -й ячейке решетки.

Осуществив подстановку (4) в (3), получаем

$$H_{\text{at}} = \hbar \sum_{m=1}^M [\omega_{\text{mat}}^a a_m^+ a_m + \omega_{\text{mat}}^b b_m^+ b_m - \beta_a (a_m^+ a_{m-1} + a_m^+ a_{m+1} + \text{эрмит. сопр.}) - \beta_b (b_m^+ b_{m-1} + \text{эрмит. сопр.})],$$

$$H_{\text{int}} = \hbar \sum_{m=1}^M g_m (\psi_m^+ a_m^+ b_m + b_m^+ a_m \psi_m), \quad (6)$$

$$H_{\text{ph}} = \hbar \sum_{m=1}^M [\omega_{\text{mph}} \psi_m^+ \psi_m - \alpha (\psi_m^+ \psi_{m-1} + \psi_m^+ \psi_{m+1} + \text{эрмит. сопр.})],$$

где коэффициенты связи  $\beta_{a,b}$  и  $\alpha$  характеризуют туннелирование атомов (фотонов) между соседними ячейками и определяются интегралами перекрытия функций  $\varphi_m^{a,b}(\mathbf{r})$  и  $\xi_m(\mathbf{r})$  с их производными соответственно. Аналогично определяются и величины  $\omega_{\text{mat}}^{a,b}$ ,  $\omega_{\text{mph}}$  [16, 17]. Мы полагаем все коэффициенты атомно-оптического взаимодействия одинаковыми во всех ячейках, так что  $g = g_1 = g_2 = \dots = g_M$ .

Перейдем к импульсному  $\mathbf{k}$ -представлению. Воспользовавшись периодичностью структуры ПК, операторы  $\psi_m$ ,  $a_m$ ,  $b_m$  можно представить в виде

$$a_m = \frac{1}{\sqrt{M}} \sum_{\mathbf{k}} a_{\mathbf{k}} \exp(i\mathbf{k}\mathbf{n}), \quad b_m = \frac{1}{\sqrt{M}} \sum_{\mathbf{k}} b_{\mathbf{k}} \exp(i\mathbf{k}\mathbf{n}), \quad (7)$$

$$\psi_m = \frac{1}{\sqrt{M}} \sum_{\mathbf{k}} \psi_{\mathbf{k}} \exp(i\mathbf{k}\mathbf{n}),$$

где  $\mathbf{n}$  – вектор решетки.

Далее для простоты ограничимся рассмотрением лишь одномерной структуры ПК, для которой  $\mathbf{k}\mathbf{n} = mk_x l$ , где  $k_x$  – проекция волнового вектора светового поля на ось  $x$ ;  $l$  – постоянная решетки. Подставляя (7) в (6), приходим к выражению для гамильтониана в  $\mathbf{k}$ -пространстве:

$$H = \hbar \sum_{\mathbf{k}} \left[ \omega_{\text{ph}}(\mathbf{k}) \psi_{\mathbf{k}}^+ \psi_{\mathbf{k}} + \omega_{\text{at}}(\mathbf{k}) \frac{1}{2} (b_{\mathbf{k}}^+ b_{\mathbf{k}} - a_{\mathbf{k}}^+ a_{\mathbf{k}}) + \frac{g}{\sqrt{M}} \sum_{\mathbf{q}} (\psi_{\mathbf{k}}^+ a_{\mathbf{q}}^+ b_{\mathbf{k}+\mathbf{q}} + b_{\mathbf{k}+\mathbf{q}}^+ a_{\mathbf{q}} \psi_{\mathbf{k}}) \right], \quad (8)$$

где  $\omega_{\text{ph}}(\mathbf{k})$  и  $\omega_{\text{at}}(\mathbf{k})$  определяют дисперсионные соотношения для фотонной и атомной систем структуры ПК соответственно и задаются выражениями

$$\omega_{\text{ph}}(\mathbf{k}) = \omega_{\text{mph}} - 2\alpha \cos(kl), \quad (9)$$

$$\omega_{\text{at}}(\mathbf{k}) = \omega_{\text{mat}}^b - \omega_{\text{mat}}^a - 2\beta \cos(kl),$$

где  $\beta = \beta_b - \beta_a$  – эффективный коэффициент связи атомов в решетке.

### 3. Квантовое вырождение одномерного газа поляритонов

Выражение (8) в приближении сильной связи представляет собой многочастичный гамильтониан в импульсном представлении, описывающий одномерную периодическую структуру, и может быть проанализирован в терминах темных и светлых поляритонов. Мы рассмотрим его в приближении атомных возмущений малой плотности, когда все атомы занимают в основном нижний уровень |а> [11]. В этом случае оказывается возможным определение бозе-операторов уничтожения ( $\phi_{\mathbf{k}}$ ) и рождения ( $\phi_{\mathbf{k}}^+$ ) коллективных возмущений двухуровневой атомной системы в  $\mathbf{k}$ -представлении:

$$\phi_{\mathbf{k}} = \sum_{\mathbf{q}} \frac{a_{\mathbf{q}}^+ b_{\mathbf{k}+\mathbf{q}}}{\sqrt{M}}, \quad \phi_{\mathbf{k}}^+ = \sum_{\mathbf{q}} \frac{b_{\mathbf{k}+\mathbf{q}}^+ a_{\mathbf{q}}}{\sqrt{M}}. \quad (10)$$

Используя определение (10), гамильтониан системы (8) можно представить в более удобном виде:

$$H = \hbar \sum_{\mathbf{k}} [\omega_{\text{ph}}(\mathbf{k}) \psi_{\mathbf{k}}^+ \psi_{\mathbf{k}} + \omega_{\text{at}}(\mathbf{k}) \phi_{\mathbf{k}}^+ \phi_{\mathbf{k}} + g (\psi_{\mathbf{k}}^+ \phi_{\mathbf{k}} + \phi_{\mathbf{k}}^+ \psi_{\mathbf{k}})]. \quad (11)$$

Гамильтониан (11) приводится к диагональному виду с помощью преобразований Боголюбова:

$$\Xi_{1\mathbf{k}} = \mu_1 \psi_{\mathbf{k}} - \mu_2 \phi_{\mathbf{k}}, \quad \Xi_{2\mathbf{k}} = \mu_1 \phi_{\mathbf{k}} + \mu_2 \psi_{\mathbf{k}}, \quad (12)$$

где

$$\mu_{1,2}^2 = \frac{1}{2} \left[ 1 \mp \frac{\delta\omega}{(\delta\omega^2 + 4g^2)^{1/2}} \right] \quad (13)$$

– коэффициенты Хопфилда, удовлетворяющие условию нормировки  $\mu_1^2 + \mu_2^2 = 1$ ;  $\delta\omega = \omega_{\text{at}}(\mathbf{k}) - \omega_{\text{ph}}(\mathbf{k}) = \Delta - 2(\beta - \alpha) \cos(kl)$  – частотная отстройка, зависящая от квазиимпульса  $\mathbf{k}$ ;  $\Delta \equiv \omega_{\text{mat}}^b - \omega_{\text{mat}}^a - \omega_{\text{mph}}$  – та же отстройка при  $kl = \pi/2 + \pi p$ ,  $p = 0, 1, \dots$ .

Операторы  $\Xi_{1\mathbf{k}}$ ,  $\Xi_{2\mathbf{k}}$  характеризуют два типа элементарных возмущений в атомной среде – поляритоны верхней и нижней ветвей с характерными частотами  $\Omega_{1,2}(\mathbf{k})$ , а также определяют дисперсионные соотношения и зонную структуру ПК. Выражения для этих частот имеют вид

$$\Omega_{1,2}(\mathbf{k}) = \frac{1}{2} [\omega_{\text{at}}(\mathbf{k}) + \omega_{\text{ph}}(\mathbf{k}) \pm (\delta\omega^2 + 4g^2)^{1/2}]. \quad (14)$$

С помощью (14) можно найти массу поляритонов верхней (индекс 1) и нижней (индекс 2) ветвей:

$$m_{1,2} = \frac{2m_{\text{at}}m_{\text{ph}}(\tilde{\Delta}^2 + 4g^2)^{1/2}}{(m_{\text{at}} + m_{\text{ph}})(\tilde{\Delta}^2 + 4g^2)^{1/2} \mp (m_{\text{at}} - m_{\text{ph}})\tilde{\Delta}}, \quad (15)$$

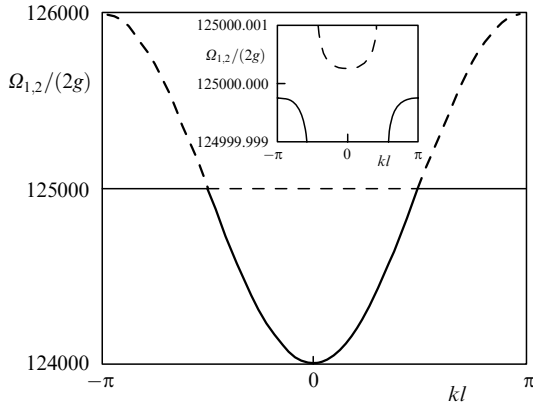


Рис.2. Дисперсионные зависимости  $\Omega_1$  (верхняя ветвь, штриховая кривая) и  $\Omega_2$  (нижняя ветвь, сплошная кривая) поляритонов как функции приведенного квазиимпульса (вектора Блоха)  $kl$  в первой зоне Бриллюэна. Характерная частота атомного перехода  $(\omega_{mat}^b - \omega_{mat}^a)/2\pi = 500$  ТГц,  $\Delta = 0$ , частота атомно-оптической связи  $g \times (2\pi)^{-1} = 2$  ГГц, эффективная масса фотона (атома) в решетке  $m_{ph} = 5 \times 10^{-36}$  кг ( $m_{at} = 38.5 \times 10^{-27}$  кг), постоянная решетки  $l = 2.24$  мкм. На вставке показана область частот расщепления Раби.

где  $\tilde{\Delta} = \Delta - 2(\beta - \alpha)$  – некоторая эффективная отстройка, включающая в себя также характерные частоты  $\alpha$  и  $\beta$ ;  $m_{at} = \hbar/(2\beta l^2)$ ,  $m_{ph} = \hbar/(2\alpha l^2)$  – эффективные массы атомов и фотонов в решетке соответственно.

На рис.2 представлены дисперсионные зависимости  $\Omega_{1,2}(k)$  для верхней и нижней поляритонных ветвей в первой зоне Бриллюэна. Ширина запрещенной зоны определяется величиной расщепления Раби – выражением  $(\delta\omega^2 + 4g^2)^{1/2}$ . В центре зоны (вблизи  $k = 0$ ) дисперсионные зависимости являются параболическими для обеих ветвей; в условиях резонанса ( $\delta\omega = 0$ ) величина расщепления полностью определяется коэффициентом атомно-оптического взаимодействия  $2g$  (см. также вставку на рис.2).

Принципиальным моментом является наличие при  $k = 0$  минимума зависимостей на рис.2 для поляритонов нижней ветви. Для малых значений квазиимпульса, когда  $kl \ll 1$ , из (14) имеем

$$\Omega_{1,2}(k) \approx \frac{\hbar k^2}{2m_{1,2}}, \quad (16)$$

что соответствует закону дисперсии для свободных частиц – поляритонов в минимуме зависимости  $\Omega_2(k)$  на рис.2. В этом случае статистические свойства газа поляритонов определяются его размерностью (см., напр., [19]). В частности, для резонансного взаимодействия масса поляритона может быть найдена из выражения (15):

$$m_2 = \frac{2m_{ph}}{1 + m_{ph}/m_{at}}. \quad (17)$$

В ситуации, когда выполняется условие  $m_{ph}/m_{at} \ll 1$  ( $\alpha \gg \beta$ ), масса поляритонов нижней ветви достаточно мала. Например, для взаимодействия двухуровневых атомов натрия с электромагнитным полем в резонаторе при длине волны перехода между уровнями 589 нм эффективная масса фотонов в резонаторе  $m_{ph} \approx 0.5 \times 10^{-35}$  кг [12]. В этом случае оценка массы поляритона с помощью формулы (17) дает  $m_2 \approx 10^{-35}$  кг. Поэтому температура квантового вырождения одномерного газа поляритонов  $T_d = 2\pi\hbar^2 n_1^2 / (m_2 k_B)$  может быть достаточно высокой

( $\sim 300$  К при его концентрации  $n_1 \approx 10^4$  см $^{-3}$ ). Следует, однако, иметь в виду, что пространственно-периодическая структура ПК, приведенная на рис.1, имеет большое время когерентности только при достаточно низких температурах  $T$ , когда удержание относительно большого числа атомов становится возможным. В данном случае газ поляритонов можно полагать сильно вырожденным и квантовым, так что выполняется условие  $n_1 L_T \gg 1$ , где  $L_T = [2\pi\hbar^2 / (m_2 k_B T)]^{1/2}$  – длина волны де Бройля. В этом пределе формирование когерентных поляритонов в структуре ПК представляет интерес для распределенной записи и хранения квантовой оптической информации [20, 21].

#### 4. Групповая скорость поляритонов

Рассмотрим групповые скорости  $v_{1,2} = \partial\Omega_{1,2}(k)/\partial k$  поляритонов в решетке. С помощью (14) для  $v_{1,2}$  можно получить выражение

$$v_{1,2} = \frac{\hbar \sin(kl)}{2lm_{ph}} \left[ 1 + \frac{m_{ph}}{m_{at}} \mp \left( 1 - \frac{m_{ph}}{m_{at}} \right) \frac{\delta\omega}{(\delta\omega^2 + 4g^2)^{1/2}} \right]. \quad (18)$$

Из (18) следует, что для поляритонов с малыми  $k$  групповые скорости  $v_{1,2}$  также малы. В частности, в пределе  $kl \ll 1$  зависимость  $v_2(k)$  для поляритонов нижней ветви является линейной, т. е.  $v_2 \approx \hbar k/m_2$ . Вместе с тем  $v_{1,2} = 0$  на границах зоны Бриллюэна при  $kl = p\pi$ ,  $p = 0, \pm 1, \dots$ . В этом случае структура ПК позволяет полностью локализовать поляритоны внутри этой зоны.

Возможность уменьшения групповой скорости поляритонов может быть использована для наблюдения «медленного» света в решетке атомов, что является чрезвычайно актуальным для записи и хранения квантовой оптической информации. В данном случае групповая скорость оптического поля изменяется с помощью атомно-оптической отстройки  $\Delta$  (или  $\tilde{\Delta}$ ).

Пример такого управления поляритонами нижней дисперсионной ветви с малыми квазиимпульсами  $k$  представлен на рис.3. Управление осуществляется вблизи дна «ям» на рис.2, когда справедливым оказывается параболический закон дисперсии (16). В этом пределе поляритонам можно приписать волновую функцию  $\Psi(x, t)$ , которая является носителем квантовой информации и удовлетворяет уравнению Шредингера

$$\left( i\hbar \frac{\partial}{\partial t} + \frac{\hbar^2}{2m_2} \frac{\partial^2}{\partial x^2} \right) \Psi(x, t) = 0. \quad (19)$$

Решение уравнения (19) хорошо известно в квантовой физике (см., напр., [22], а также [13]). Поляритоны представляют собой расплывающийся во времени и распространяющийся в структуре ПК когерентный волновой пакет (рис.1,б). Характерное время расплывания пакета  $\tau_b = m_2 f^2 / \hbar$  зависит как от массы поляритонов  $m_2$ , так и от пространственной ширины пакета  $f$  вдоль оси  $x$  в начальный момент времени, т. е. от диаметра светового пучка на входе в среду.

Запись и хранение квантовой оптической информации с помощью структуры ПК предполагает трехшаговый физический алгоритм, основанный на управлении групповой скоростью поляритонного волнового пакета в среде, которое осуществляется с помощью варьирования отстройки от резонанса  $\tilde{\Delta}$  (рис.3,а).

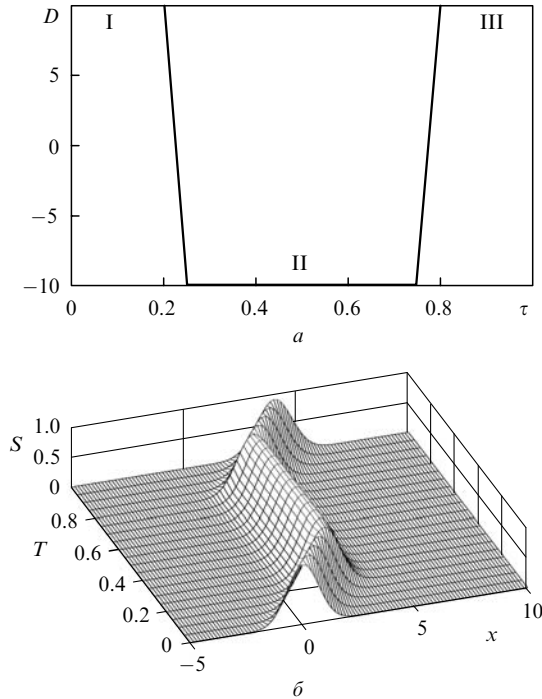


Рис.3. Распространение одномерного поляритонного волнового пакета в структуре ПК: зависимости параметра  $D = \tilde{\Delta}/(2|g|)$  от нормированного времени  $\tau = \hbar t/(m_{\text{ph}} f^2)$  (а) и огибающей пакета (плотности вероятности)  $S \equiv |\Psi(x, t)|^2/|\Psi(0, 0)|^2$  от  $\tau$  и нормированной координаты  $X = x/f$  при  $k_x f = 10$  (б). Указаны стадии записи (I), хранения (II) и считывания (восстановления) (III) оптической информации.

Во-первых (стадия I), для записи квантовой информации выбираем такую отстройку  $\tilde{\Delta}$ , чтобы выполнялось условие  $\tilde{\Delta} \gg 2|g|$ ; на рис.3,а этому соответствует интервал времени  $0 \leq \tau \leq 0.25$ . В данном случае поляритоны нижней дисперсионной ветви являются фотоподобными, т. е.  $\Xi_{2k} \simeq -\psi_k$  ( $\mu_1 \simeq 0, \mu_2 \simeq -1$ ) и эффективная масса  $m_2 \simeq m_{\text{ph}}$  (см. формулы (12), (13), (15)). Волновой пакет при этом распространяется со скоростью  $v_2$ , определяемой выражением

$$v_2 = \frac{\hbar k}{m_{\text{ph}}} = 2\alpha l^2 k, \quad (20)$$

и смещается вдоль оси  $x$  – из точки  $x = 0$  в точку  $x = v_2 t$  (рис.3,б). Например, для квазиимпульса  $k = 10^5 \text{ м}^{-1}$  оценка групповой скорости поляритонов  $v_2$  составляет  $2 \times 10^6 \text{ м/с}$ .

Во-вторых (стадия II), для отображения оптической информации на когерентные атомные возмущения среды мы переключаем отстройку, сделав ее отрицательной, т. е.  $\tilde{\Delta} \ll -2|g|$ . В этом пределе поляритоны нижней ветви становятся атомоподобными, так что  $\Xi_{2k} \simeq \phi_k$  ( $\mu_1 \simeq 1, \mu_2 \simeq 0$ ) (рис.3). При  $m_{\text{ph}}/m_{\text{at}} = \beta/\alpha \ll g^2/\tilde{\Delta}^2$  их групповая скорость [7]

$$v_2 = \frac{\hbar k g^2}{m_{\text{ph}} \tilde{\Delta}^2} = \frac{2\alpha l^2 k g^2}{\tilde{\Delta}^2}. \quad (21)$$

При выполнении более строгого условия  $g^2/\tilde{\Delta}^2 \ll m_{\text{ph}} \times m_{\text{at}}^{-1} \ll 1$  групповая скорость поляритонов нижней ветви

$$v_2 = \frac{\hbar k}{m_{\text{at}}} = 2\beta l^2 k, \quad (22)$$

что соответствует скорости атомов в решетке. В частности, для атомов натрия с эффективной массой  $m_{\text{at}} = 38.5 \times 10^{-27} \text{ кг}$  при том же значении волнового вектора групповая скорость таких поляритонов  $v_2 = 2.6 \times 10^{-4} \text{ м/с}$  [21].

Фактически выражение (22) определяет нижний допустимый предел скорости оптического волнового пакета в структуре ПК для данного значения квазиимпульса. В этом пределе информация, содержащаяся в световом пучке, полностью записывается и хранится атомными возмущениями. Для характерного времени расплывания имеем оценку  $\tau_b = m_{\text{at}} f^2/\hbar \approx 3.7 \text{ с}$  при диаметре входного пучка  $f \simeq 10^{-4} \text{ м}$ . Данный временной масштаб (интервал  $0.25 \leq \tau \leq 0.75$  на рис.3,а) и определяет максимальное время хранения информации квантовым газом двухуровневых атомов натрия. Точнее, необходимым условием такой записи информации является выполнение неравенства  $\tau_{\text{stor}} \ll \tau_b$ , которое означает сохранение формы волнового пакета в течение всего времени хранения квантового состояния, где  $\tau_{\text{stor}}$  определяет время хранения информации атомной системой.

Наконец, в-третьих (стадия III), для восстановления (считывания) оптической информации на выходе из среды через интервал времени  $\tau_{\text{stor}}$  мы должны сделать поляритоны снова фотоподобными, переключая отстройку  $\tilde{\Delta}$  в обратную сторону. На рис.3,а характерное время обратного переключения волнового пакета  $\tau_{\text{ret}}$  определено промежутком времени  $0.75 \leq \tau \leq 0.8$ . На выходе из среды (при  $\tau = 1$ ) мы опять имеем оптический волновой пакет, но смещенный вдоль оси  $x$  в плоскости, перпендикулярной оси резонатора.

В данной работе мы не приводим оценку качества (надежности) сохраняемой информации. В [13] нами рассчитана оценка параметра надежности сохраняемой информации при учете изменения только формы волнового пакета. Однако в общем случае этого недостаточно. Необходимым является также анализ преобразования квантового состояния светового поля на основе структуры ПК с учетом ее декогерентности (см., напр., [23]). Анализ данной задачи представляет самостоятельный интерес и выходит за рамки настоящей работы. В этой связи отметим лишь, что в реальной экспериментальной ситуации интервал времени записи, хранения и считывания информации все же ограничен временем декогерентности структуры ПК. Таким образом, вполне оправданным является использование конденсата атомов, которые обладают достаточно большим временем макроскопической когерентности, составляющим десятки микросекунд по экспериментальным данным [24].

## 5. Заключение

В работе рассмотрена решеточная модель когерентных поляритонов в пространственно-периодической структуре – ПК, образованном решеткой ансамблей двухуровневых атомов, эффективно взаимодействующих с электромагнитным полем в резонаторе (или двумерной решетке резонаторов) в рамках приближения сильной связи. Показано, что структура ПК позволяет полностью локализовать поляритоны нижней дисперсионной ветви, что может быть использовано, во-первых, для квантового вырождения газа поляритонов и, во-вторых, для существенного замедления светового импульса в рассматриваемой среде. Данные когерентные свойства ан-

самбля поляритонов обсуждаются нами с точки зрения пространственно-распределенной квантовой записи, хранения и считывания информации, связанной с распространяющимся оптическим волновым пакетом.

Работа поддержана грантами РФФИ № 08-02-99011-р\_офи, 08-02-99028-р\_офи и 08-02-99013-р\_офи, а также федеральными программами Министерства образования и науки РФ.

1. *Новые физические принципы оптической обработки информации.* Под ред. С.А.Ахманова, М.А.Воронцова (М.: Наука, 1990).
2. Bloch I. *J. Phys. B: At. Mol. Opt. Phys.*, **38**, S629 (2005).
3. Brennecke F., Donner T., Ritter S., Bourdel T., Kohl M., Esslinger T. *Nature*, **450**, 268 (2007).
4. Hartmann M.J., Brandao F., Plenio M.B. *Nature*, **2**, 849 (2006).
5. Aoki T., Dayan B., Wilcut E., Bowen W.P., Parkins A.S., Kippenberg T.Y., Vahala K.Y., Kimble H.J. *Nature*, **443**, 671 (2006).
6. Zhou L., Lu J., Sun C.P. *Phys. Rev. A*, **76**, 012313 (2007).
7. Yanik M.F., Fan S. *Phys. Rev. Lett.*, **92**, 083901 (2004).
8. Аверченко В.А., Алоджанц А.П., Аракелян С.М., Багаев С.Н., Виноградов Е.А., Егоров В.С., Столяров А.И., Чехонин И.А. *Квантовая электроника*, **36**, 532 (2006).
9. Kavokin A., Malpuech G., Laussy F.P. *Phys. Lett. A*, **306**, 187 (2003).
10. Kasprzak J., Richard M., Kundermann S., Baas A., et al. *Nature*, **443**, 409 (2006).
11. Alodjants A.P., Arakelian S.M., Bagayev S.N., Egorov V.S., Leksin A.Yu. *Appl. Phys. B*, **89**, 81 (2007).
12. Lai C.W., Kim N.Y., Utsunomiya S., Roumpos G., Deng H., Fraser M.D., Byrnes T., Recher P., Kumada N., Fujisawa T., Yamamoto Y. *Nature*, **450**, 529 (2007).
13. Alodjants A.P., Arakelian S.M., Leksin A.Yu. *Laser Phys.*, **17**, 1 (2007).
14. Anglin J.R., Vardi A. *Phys. Rev. A*, **64**, 013605 (2001).
15. Cirac J.I., Lewenstein M., Molmer K., Zoller P. *Phys. Rev. A*, **57**, 1208 (1998).
16. Smerzi A., Trombettoni A., Kevrekidis P.G., Bishop A.R. *Phys. Rev. Lett.*, **89**, 170402 (2002).
17. Brazhny V.V., Konotop V.V. *Mod. Phys. Lett. B*, **18**, 627 (2004); Alfimov G.L., Kevrekidis P.G., Konotop V.V., Salerno M. *Phys. Rev. E*, **66**, 046608 (2002).
18. Kramer M., Menotti C., Pitaevskii L., Stringari S. *Eur. Phys. J. D*, **27**, 247 (2003).
19. Petrov D.S., Gangardt G.M., Shlyapnikov G.V. *J. Phys. IV France*, **116**, 7 (2004).
20. Mishina O.S., Kupriyanov D.V., Müller J.H., Polzik E.S. *Phys. Rev. A*, **75**, 042326 (2007).
21. Fleischauer M., Lukin M.D. *Phys. Rev. A*, **65**, 022314 (2002).
22. Карлов Н.В., Кириченко Н.А. *Начальные главы квантовой механики* (М.: Физматлит, 2004).
23. He Q.Y., Reid M.D., Giacobino E., Cviklinski J., Drummond P.D. E-print arXiv:0808.2010v1 [quant-ph] 14 Aug 2008.
24. Liu C., Dutton Z., Behroozi C.H., Hau L.V. *Nature*, **409**, 490 (2001).